

トポロジカル相とバルク・エッジ対応の 数学的側面へのイントロダクション

吉田 幹雄

§ 結晶のモデル

§ バルク指数

§ エッジ指数

§ バルク・エッジ対応

結晶のエネルギー

$$\hat{T}^{-1} \hat{H} : S' \xrightarrow{\text{連続}} \{\text{N次 Hermite 行列}\}$$

$$\hat{H} : L^2(S^2, \mathbb{C}^N) \rightarrow L^2(S^2, \mathbb{C}^N)$$

// \cup 各点での積 \cup

$$\left(\begin{array}{l} \sum_{n \in \mathbb{Z}} H_n z^n \quad \hat{\phi} = \sum_{n \in \mathbb{Z}} \phi_n z^n \quad \hat{H} \hat{\phi} = \sum_{n \in \mathbb{Z}} (H \phi)_n z^n \\ (H \phi)_n = \sum_{k+l=n} H_k \phi_l \end{array} \right)$$

$$\hat{H} : L^2(\mathbb{Z}, \mathbb{C}^N) \rightarrow L^2(\mathbb{Z}, \mathbb{C}^N)$$

$$L^2(S', \mathbb{C}^n) \xrightarrow{\hat{H}} L^2(S', \mathbb{C}^n)$$

\parallel



\parallel

self-adjoint

$$L^2(\mathbb{Z}, \mathbb{C}^n) \xrightarrow{H} L^2(\mathbb{Z}, \mathbb{C}^n)$$

$\sigma(\hat{H}) = \sigma(H) = \bigcup_{z \in S'} \sigma(\hat{H}(z))$ スペクトル
 \uparrow 行列の固有値

"運針量"の空間

- \hat{H} は S' の各点で積
 - H は \mathbb{Z} のシフトと可換
- 同値
- 1次元の結晶とみなす

• $\phi = \{\phi_n\}_{n \in \mathbb{Z}}$ "波動関数" $(\Leftrightarrow \widehat{\phi} = \sum_{n \in \mathbb{Z}} \phi_n z^n)$
 $(\phi_n \in \mathbb{C}^n)$

n と n の粒子の状態を表す。

($\phi \neq 0$ の時、 $\mathbb{C}\phi$ が状態に対応する。)

• $\phi \neq 0$ が エネルギー λ を持つ \Leftrightarrow $H\phi = \lambda\phi$
 def

Remark $F: L^2(S^1, \mathbb{C}^N) \rightarrow L^2(S^1, \mathbb{C}^N)$ が generic である時, いかん子 λ に対して, エネルギー λ の状態は存在しない.

\mathcal{Z} : 無限の大きさの結晶のモデル



\mathcal{Z}_L : 有限の大きさの結晶のモデル ($L \in \mathbb{Z}_{>0}$)

* 先程の \tilde{H} (or H) を用いて \mathcal{Z}_L 上の Hamiltonian を作る

Recall

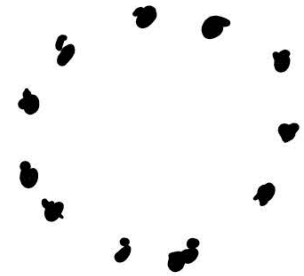
$$H: L^2(\mathbb{Z}, \mathbb{C}^M) \rightarrow L^2(\mathbb{Z}, \mathbb{C}^M)$$

.....

$$\left\{ \phi_n \right\}_{n \in \mathbb{Z}} \xrightarrow{H} \left\{ \sum_{k+l=n} H_k \phi_l \right\}_{n \in \mathbb{Z}}$$

Define

$$H^{2/L}: L^2(\mathbb{Z}/L, \mathbb{C}^M) \rightarrow L^2(\mathbb{Z}/L, \mathbb{C}^M)$$



$$\left\{ \phi_{\bar{n}} \right\}_{\bar{n} \in \mathbb{Z}/L} \xrightarrow{H^{2/L}} \left\{ \sum_{\substack{k+l=\bar{n} \\ \text{mod } L}} H_k \phi_l \right\}_{\bar{n} \in \mathbb{Z}/L}$$

Recall

$$\begin{array}{ccc} L^2(\mathbb{Z}, \mathbb{C}^N) & \xrightarrow{H} & L^2(\mathbb{Z}, \mathbb{C}^N) \\ \parallel_S & \curvearrowright & \parallel_S \\ L^2(S', \mathbb{C}^N) & \xrightarrow{\widehat{H}} & L^2(S', \mathbb{C}^N) \end{array}$$

$$S' = \mathcal{U}(1)$$

$$\dim_{\mathbb{C}} \begin{array}{l} L^2(\mathbb{Z}, \mathbb{C}^N) \\ L^2(S', \mathbb{C}^N) \end{array} = +\infty$$

Observe

$$\begin{array}{ccc} L^2(\mathbb{Z}/L, \mathbb{C}^N) & \xrightarrow{H^{\mathbb{Z}/L}} & L^2(\mathbb{Z}/L, \mathbb{C}^N) \\ \parallel_S & & \\ L^2(C_L, \mathbb{C}^N) & \xrightarrow{\widehat{H}^{C_L}} & L^2(C_L, \mathbb{C}^N) \end{array}$$

where

$$C_L = \{z \in \mathcal{U}(1) \mid z^L = 1\}$$

$$\widehat{H}^{C_L} = H|_{C_L} \quad \begin{array}{l} +\infty \\ \downarrow \end{array}$$

$$\dim_{\mathbb{C}} \begin{array}{l} L^2(\mathbb{Z}/L, \mathbb{C}^N) \\ L^2(C_L, \mathbb{C}^N) \end{array} = LN$$

2つの粒子 : 相互作用がない場合.

$$\left\{ \begin{array}{l} \text{粒子 A} \\ \text{粒子 B} \end{array} \right. \quad \left\{ \begin{array}{l} H^{(A)} : V^{(A)} \rightarrow V^{(A)} \\ H^{(B)} : V^{(B)} \rightarrow V^{(B)} \end{array} \right. \quad \left(\begin{array}{l} e^{\sqrt{-1}tH^{(A)}} : V^{(A)} \rightarrow V^{(A)} \\ e^{\sqrt{-1}tH^{(B)}} : V^{(B)} \rightarrow V^{(B)} \end{array} \right)$$

→ 粒子 A + 粒子 B を表わす Hamiltonian

$$H^{(A)} \otimes 1 + 1 \otimes H^{(B)} : V^{(A)} \otimes V^{(B)} \rightarrow V^{(A)} \otimes V^{(B)}$$

$$\left(e^{\sqrt{-1}tH^{(A)}} \otimes e^{\sqrt{-1}tH^{(B)}} : V^{(A)} \otimes V^{(B)} \rightarrow V^{(A)} \otimes V^{(B)} \right)$$

(粒子 A と 粒子 B が “異なる種類” の粒子の時.)

M 個の粒子 : 相互作用がない場合

* 粒子 A_1, \dots, A_n がそれぞれ異なる種類

$$\sum_{1 \leq j \leq M} 1 \otimes \dots \otimes H^{(A_j)} \otimes \dots \otimes 1 : \underbrace{V^{(A_1)} \otimes \dots \otimes V^{(A_n)}}_M \longrightarrow \underbrace{V^{(A_1)} \otimes \dots \otimes V^{(A_n)}}_M$$

* fermion

$$\sum_{1 \leq j \leq M} 1 \wedge \dots \wedge H^{(A)} \wedge \dots \wedge 1 : \wedge^M V^{(A)} \longrightarrow \wedge^M V^{(A)}$$

* boson

$$\sum_{1 \leq j \leq M} 1 \cdot 1 \cdot \dots \cdot H^{(A)} \cdot \dots \cdot 1 \cdot 1 : \text{Sym}^M V^{(A)} \longrightarrow \text{Sym}^M V^{(A)}$$

相互作用がない場合のエネルギーの挙動 (fermion)

$$H^{(A)}: V^{(A)} \rightarrow V^{(A)} \text{ の固有値 } \{\lambda_1, \lambda_2, \dots, \lambda_a\}$$

\Downarrow

$\phi_1 \quad \phi_2 \quad \dots \quad \phi_a$

$$\sum_{1 \leq j_1 < j_2 < \dots < j_M \leq a} |\wedge^{j_1} \dots \wedge H^{(A)} \wedge^{j_2} \dots \wedge^{j_M}| : \wedge^M V^{(A)} \rightarrow \wedge^M V^{(A)} \text{ の固有値}$$
$$\{ \lambda_{i_1} + \lambda_{i_2} + \dots + \lambda_{i_M} \mid 1 \leq i_1 < i_2 < \dots < i_M \leq a \}$$

$$\phi_{i_1} \wedge \phi_{i_2} \wedge \dots \wedge \phi_{i_M}$$

統計力学の一般論 (カニカニ分布)

$$\hat{H} : \hat{V} \rightarrow \hat{V}$$

$$\hat{H}\hat{\phi} = \Lambda\phi$$

$$\hat{H}\hat{\phi}' = \Lambda'\phi'$$

\Rightarrow

状態 ϕ : 状態 ϕ'
にある確率 : である確率

$$e^{-\Lambda/T} : e^{-\Lambda'/T}$$

“温度 T の平衡状態” における分布

相互作用なしの fermion の場合 (カ1=カ1分布)

$$\left\{ \begin{array}{l} H^{(A)}: V^{(A)} \rightarrow V^{(A)} \quad \lambda_1 \leq \lambda_2 \leq \dots \leq \lambda_a \\ \hat{H} := \sum_j | \wedge \dots \wedge H^{(A)} \wedge \dots \wedge | : \wedge^M V^{(A)} \xrightarrow{\phi_1, \phi_2, \dots, \phi_a} \wedge^M V^{(A)} \end{array} \right.$$

⊙ \hat{H} に対して、確率が最大となる状態のエネルギーは
 $\phi_1 \wedge \phi_2 \wedge \dots \wedge \phi_a \quad \lambda_1 + \lambda_2 + \dots + \lambda_M$

(すなわち、 $H^{(A)}$ に対する状態のエネルギーが小さい "順番に"
 M 個のものを選ぶ。それらのウェッジ積をとったもの)

統計力学の一般論 グランドカニカル分布

相互作用のない fermion に対して、粒子数が
固定されていない場合 T : 温度, μ : 化学ポテンシャル

$$\bigoplus_{M \geq 0} \wedge^M V^{(A)} \quad : \quad \text{Hilbert space}$$

$$\left\{ \begin{array}{l} \psi \in \wedge^M V^{(A)} \\ \hat{H}\psi = \lambda\psi \end{array} \right. \quad \text{の状態の値} \quad : \quad \left\{ \begin{array}{l} \psi' \in \wedge^{M'} V^{(A)} \\ \hat{H}\psi' = \lambda'\psi' \end{array} \right. \quad \text{の状態の値}$$

$$e^{-(\lambda - M\mu)/T} \quad : \quad e^{-(\lambda' - M'\mu)/T}$$

相互作用のない fermion の場合 (グラントカニカ分布)

T : 温度, μ : 化学ポテンシャル

$$H^{(A)}: V^{(A)} \rightarrow V^{(A)} \quad \lambda_1 \leq \lambda_2 \leq \dots \leq \lambda_{M_\mu} < \mu < \lambda_{M_\mu+1} \leq \dots \leq \lambda_a$$

このとき $\bigoplus_{M \geq 0} \wedge^M V^{(A)}$ の状態の中で最も確率が

大きいのは

$$\phi_1 \wedge \phi_2 \wedge \dots \wedge \phi_{M_\mu} \quad \lambda_1 + \lambda_2 + \dots + \lambda_{M_\mu}$$

すなわち エネルギーが μ より小さい $H^{(A)}$ の状態たちのエネルギー値

絶縁体 \leftrightarrow 导体 (1)

Recall

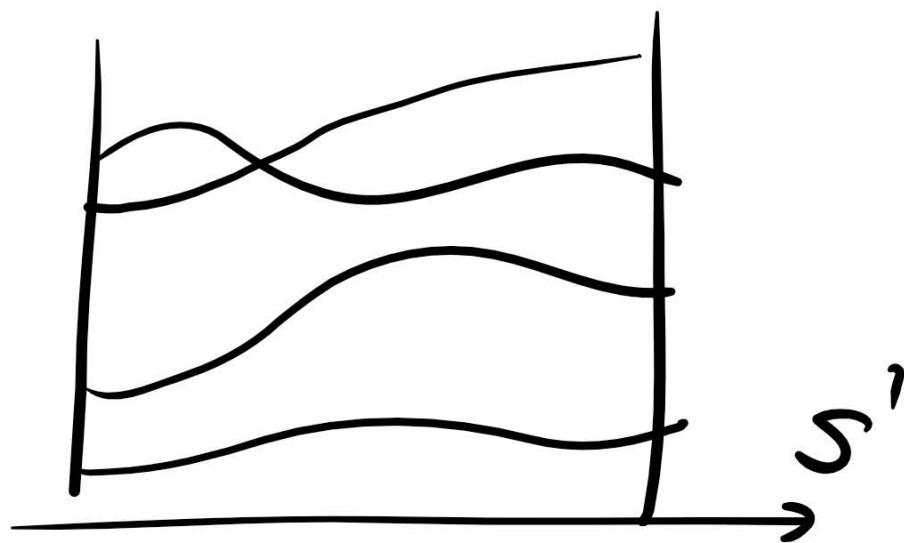
$\tilde{F}: S^1 \rightarrow \{N\text{-次 Hermite 形式}\}$
連続

$$\sigma(H^L) \subset \sigma(\tilde{F}) = \bigcup_{z \in S^1} \sigma(\tilde{F}(z)) \subset \mathbb{R}$$

$L \in \mathbb{Z}_{>0}$
有限結晶

無限結晶

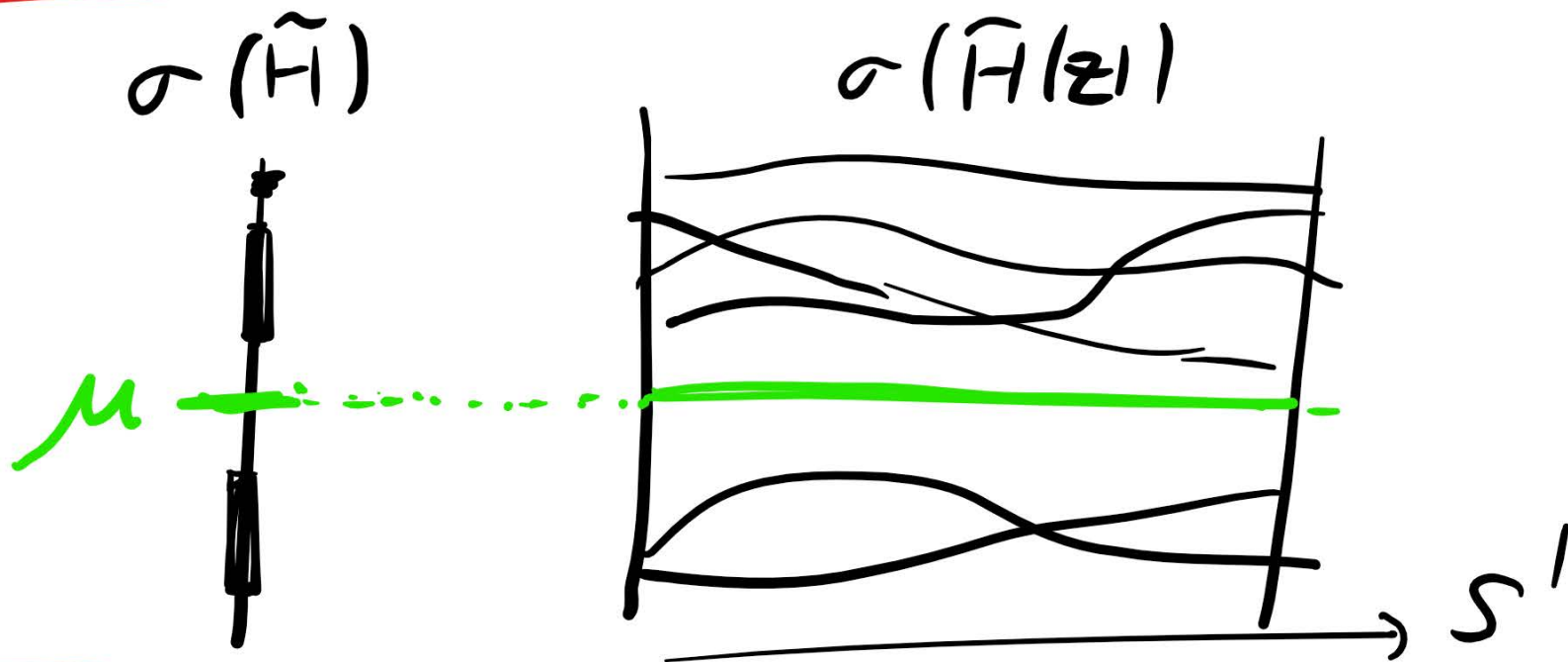
\mathbb{R}



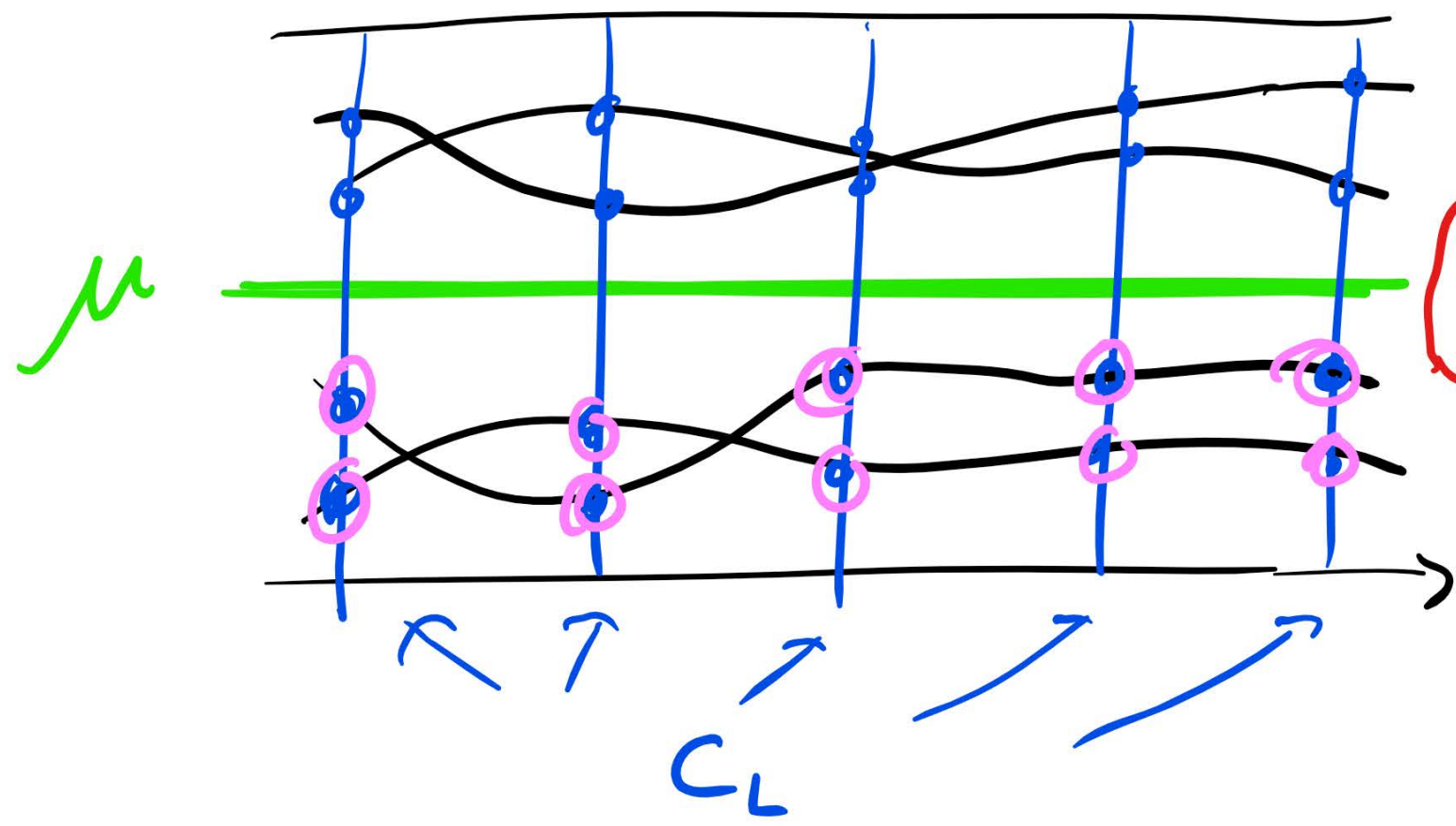
絶縁体 \leftrightarrow 導体 (2)

"Def" 化学ポテンシャル μ において、
今考えられている系が **絶縁体** であるとは、

$\mu \notin \sigma(\tilde{H})$ を満たすこと。



絶縁体 \longleftrightarrow 導体 (3)



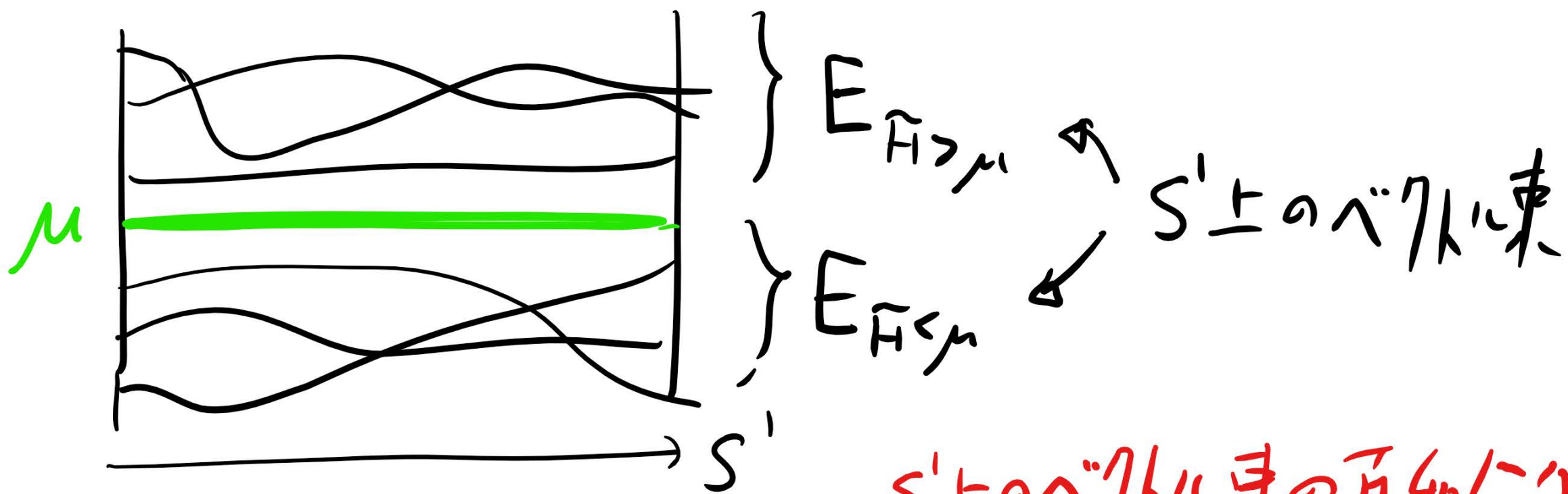
$\sigma(\hat{H}(z))$
 のグラフ

エネルギーギャップ

s'

\hat{H}^{C_L} or $H^{2/L}$ 2.12 \odot の状態のエネルギーが
 最大

エネルギーギャップに付随するトポロジカル不変量 (1)



S' 上のベクトル束の直和分解

$$S' \times \mathbb{C}^2 = \mathbb{C}^N = E_{\hat{H} < \mu} \oplus E_{\hat{H} > \mu}$$

エネルギーギャップに付随するトポロジカル不変量 (2)

Recall

$$K(X) = \left\{ E^0 \oplus E^1 \right\} / \left. \begin{array}{l} \text{homotopy} \\ \text{stabilization} \end{array} \right\}$$

\uparrow compact Hausdorff \uparrow $\mathbb{Z}/2$ 次数のベクトル束 / X (有限階数複素)

$$[E_{\text{Fermi}} \oplus \mathbb{C}^k E_{\text{Fermi}}] = -[E_{\text{Fermi}} \oplus \mathbb{C}^k E_{\text{Fermi}}] \in \hat{K}^0(S^1)$$

エネルギーギャップに付随するトポロジカル不変量 (3)

- ④ 1次元の結晶 \mathbb{Z} において、エネルギーギャップを有する Hamiltonian \hat{H} から下の不変量を待たせ。
- ④ しかし、 $\tilde{K}^0(S^1) = 0$ であるため、これ自身は自明。
- ④ 二れが自明にならないように、設定を拡張したい。

$$[E_{F_{\uparrow, \mu}} \oplus \mathbb{C}^{N_{F_{\uparrow, \mu}}}] = -[E_{F_{\downarrow, \mu}} \oplus \mathbb{C}^{N_{F_{\downarrow, \mu}}}] \in \tilde{K}^0(S^1)$$

エネルギーギャップに付随するトポロジカル不変量 (4)

⊛ d 次元の結晶 \mathbb{Z}^d において、エネルギーギャップ
を持つ Hamiltonian \hat{H} から 下の不変量を導く。

⊛ $d=2$ の時 $C_1(E_{\text{FG}, \mu}) \in H^2(T^2) \cong K^0(T^2) \cong \mathbb{Z}$ と一致

⊛ $d=3$ の時 $C_1(E_{\text{FG}, \mu}) \in H^2(T^3) \cong K^0(T^3) \cong \mathbb{Z}^3$ と一致

$$[E_{\text{FG}, \mu} \oplus \mathbb{C}^{\text{rk} E_{\text{FG}, \mu}}] = -[E_{\hat{H}, \mu} \oplus \mathbb{C}^{\text{rk} E_{\hat{H}, \mu}}] \in \hat{K}^0(T^d)$$

バブルの指数

エネルギーギャップに付随するトポロジカル不変量 (4)

⊛ d 次元の結晶 \mathbb{Z}^d において、エネルギーギャップを
与える Hamiltonian \hat{H} から下の不変量を導く。

⊛ $d=2$ の時 $C_1(E_{\text{Asg}}) \in H^2(T^2) \cong K^0(T^2) \cong \mathbb{Z}$ と一致

⊛ $d=3$ の時 $C_1(E_{\text{Asg}}) \in H^2(T^3) \cong K^0(T^3) \cong \mathbb{Z}^3$ と一致

$$[E_{\text{Asg}} \oplus \mathbb{C}^{\text{rk}} E_{\text{Asg}}] = -[E_{\text{Asg}} \oplus \mathbb{C}^{\text{rk}} E_{\text{Asg}}] \in \hat{K}^0(T^d)$$

<u>イメージ</u>	\mathbb{N}
<u>ビルド</u>	\mathbb{Z}

$$\begin{array}{ccc}
 L^2(\mathbb{N}, \mathbb{C}^N) & \xrightarrow{H^{\text{edge}}} & L^2(\mathbb{N}, \mathbb{C}^N) \\
 \downarrow \mathcal{Z} & & \uparrow \mathcal{Z}^* \\
 L^2(\mathbb{Z}, \mathbb{C}^N) & \xrightarrow{H} & L^2(\mathbb{Z}, \mathbb{C}^N)
 \end{array}$$

$$H^{\text{edge}} = \mathcal{Z}^* H \mathcal{Z} + \exists (\text{有限階数自己随伴})$$

<u>イッジ</u>	\mathbb{N}
<u>ビルド</u>	\mathbb{Z}

Lemma (仮定) H は μ について μ の μ を μ とする。

(結論) $H^{edge} \phi = \mu \phi$ の解は有限元

個々の解 $\phi = \{ \phi_n \}_{n \in \mathbb{N}}$ は

$n \rightarrow \infty$ の時 指数的に減衰する。

イッジの近くに
局在する

イツシ指数

⑤ $\text{Ker}(H^{\text{edge}} - \mu)$ の情報を用いて、
トポロジカル不変量を定義したい。

⑥ $H^{\text{edge}} - \mu : L^2(N, \mathbb{C}^n) \rightarrow L^2(N, \mathbb{C}^n)$ は、
自己随伴 Fredholm 作用素である。

⑦ 上の目的に見合う不変量として、

“Fredholm 指数” がある。——

$\left(\begin{array}{l} H - \mu \\ \text{Kernel} \\ \text{Range} \end{array} \right)$

自己随伴 Fredholm 作用素の指数 (1)

$$\tilde{K}'(S^0) = \left\{ \mathcal{V} \xrightarrow{H} \mathcal{V} \right\} / \left\{ \begin{array}{l} \text{homotopy} \\ \text{stabilization} \end{array} \right.$$

\mathcal{V} : Hilbert space
) H : self-adjoint Fredholm

$$\implies \tilde{K}'(S^0) = 0$$

付力的構造の下で
非自明になる

$\mathcal{V}_1 \xrightarrow{H_1} \mathcal{V}_1$ の直列
w/ $\text{Ker } H_1 = 0$

自己随伴 Fredholm 作用素の指数 (2)

$$\tilde{K}^0(S^0) = \left\{ \begin{array}{ccc} \mathcal{V} & \xrightarrow{A} & \mathcal{V} \\ \parallel & & \parallel \\ \mathcal{V}^0 \oplus \mathcal{V}' & \begin{pmatrix} 0 & H_0^* \\ H_0 & 0 \end{pmatrix} & \mathcal{V}^0 \oplus \mathcal{V}' \end{array} \right\} \begin{array}{l} \text{homotopy} \\ \text{stabilization} \end{array}$$

$\mathbb{Z}/2$ 次元の Hilbert space

$$\implies \tilde{K}^0(S^0) = \mathbb{Z} \quad \Rightarrow \quad \text{ind } A := \dim \text{Ker } H_0 - \dim \text{Ker } H_0^*$$

注 $\mathcal{V} = \mathcal{V}^0 \oplus \mathcal{V}'$ が有限階数 n のとき $A=0$ は Fredholm

自己随伴 Fredholm 作用素の指数 (3)

$$\tilde{K}^1(S^1) = \left\{ \begin{array}{ccc} \mathcal{V} & \xrightarrow{A} & \mathcal{V} \\ \downarrow S^1 & & \downarrow S^1 \end{array} \right\} \begin{array}{l} \text{homotopy} \\ \text{stabilization} \end{array}$$

S^1 を $n \times n$ -行列空間とする族

$$\Rightarrow \tilde{K}^1(S^1) = \mathbb{Z} \Rightarrow \mathcal{H} \text{ の } S^1 \text{ 上のスペクトル流}$$

注 \mathcal{V}

が有限階数の場合 スペクトル流は常に 0.

自己随伴 Fredholm 作用素の指数 (3)

$$\begin{array}{ccc} \tilde{K}^1(S^1) & = & \left\{ \begin{array}{c} \mathcal{H} \\ \downarrow \\ \mathcal{H} \end{array} \right\} \\ \tilde{K}^1(T^2) & & \left\{ \begin{array}{c} \mathcal{H} \\ \downarrow \\ \mathcal{H} \end{array} \right\} \end{array} \begin{array}{l} \cdot \text{homotopy} \\ \cdot \text{stabilization} \end{array}$$

$$T^2 \cong T^2$$

T^2 を $U(1) \times U(1)$ の空間と見る族 $T = S^1 \times S^1$

$$\Rightarrow \tilde{K}^1(S^1) = \mathbb{Z}^2 \Rightarrow \mathcal{H} \text{ の } S^1 \text{ 上のスペクトル流}$$

注 ν T^2 が有限階数の場合 スペクトル流は常に 0.

(改めて) エッジ指数

"Def" H が μ においてキヤップ°とたつ時
 $H^{edge-\mu}$ は Fredholm 自己随伴である。
この作用素の "指数" を エッジ指数と
よび: $ind(H^{edge-\mu})$

④ 1次元の結晶では エッジ指数 $\in \widehat{K}'(S^0) = 0$.

④ $d=2, 3$ の次元では 位相は 各 \mathbb{Z}^2
 $d=2 \Rightarrow \underline{K}'(T^1) \cong \mathbb{Z}$, $d=3 \Rightarrow \underline{K}'(T^2) \cong \mathbb{Z}^2$

ここまでのまとめ

- 相互作用のない fermion では、多体系の考察は、本質的に 1 粒子の考察に帰着する。

- d 次元の結晶のモデルとして、 \mathbb{Z}^d 上の作用素は連続写像 $\hat{H} : T^d \rightarrow \{N \text{ 次 Hermitic 行列} \}$ によって記述される。

- \hat{H} が μ に対して エネルギーギャップ $\neq 0$ のとき。

バルク指数 $\in \tilde{K}^0(T^d)$
 $S^1 \times T^{d-1}$

エッジ指数 $\in \tilde{K}^1(T^{d-1})$
が定義される。

バルク・エッジ対応 (1)

- バルク指数とエッジ指数の関係は、物理学者、数学者達により、様々な方法で、様々な変種について確立されてきた。
- エッジ指数 (= Fredholm 指数) をバルク指数 (= ベクトル束のねいれ) により表す式は、「指数定理」の一種ともいえる。

バルク・エッジ対応 (2)

定理

$$R^0(S' \times T^{d-1}) \xrightarrow{\textcircled{\Delta}} K^1(T^{d-1})$$

バルク指数 \longrightarrow エッジ指数

ここで $\textcircled{\Delta}$ は K 理論における「fiber積分」

特に $d=2,3$ の時に \mathbb{Z} . 次のように書き換えられる.

$$H^2(S' \times T^{d-1}; \mathbb{Z}) \xrightarrow{\int_{S'}} H^1(T^{d-1}; \mathbb{Z})$$

バルク指数 \longrightarrow エッジ指数

参考

- ・ 粗幾何によるボルツマン-エントロピーの定式化 (窪田) 2017
- ・ 1次元スピン系における(相互作用がある場合の)トポロジカル相の分類 (Bachmann 緒方 2015)
- ・ 結晶の対称性をくみあわせたトポロジカル相 (五味 塩崎・佐藤 2015)
- ・ 「エントロピー次元の高」コ-タ-に対応する不変量の定式化と性質 (林 2016)

